

ВЛИЯНИЕ ДЕКОРРЕЛЯЦИОННЫХ ФАКТОРОВ НА ПОГРЕШНОСТЬ ИЗМЕРЕНИЙ РАЗНОСТИ ФАЗ СИГНАЛОВ ИНТЕРФЕРОМЕТРИЧЕСКИМИ СИСТЕМАМИ

© 2020 г. В. И. Каевицер^а, В. М. Смольянинов^а, И. В. Смольянинов^а, *

^аФрязинский филиал Института радиотехники и электроники им. В.А. Котельникова РАН,
пл. Введенского, 1, Фрязино Московской обл., 141190 Российская Федерация

*E-mail: ilia159@mail.ru

Поступила в редакцию 25.03.2019 г.

После доработки 26.06.2019 г.

Принята к публикации 01.07.2019 г.

На основе общей модели сигналов, рассеянных шероховатой поверхностью морского дна, разработаны соотношения для оценки погрешностей измерения интерферометрическим гидролокатором бокового обзора (ИГБО) углов прихода эхо-сигналов, вызванных декорреляцией зондирующих сигналов с большой базой в каналах приема из-за пространственного разнеса антенн. Полученные соотношения позволяют скорректировать алгоритмы обработки сигналов, принимаемых многоантенным интерферометром, для снижения влияния аддитивной помехи на точность измерений углов прихода эхо-сигналов.

DOI: 10.31857/S0033849420070062

ВВЕДЕНИЕ

Вычисление углов прихода сигналов, основанное на измерении разности фаз между отсчетами комплексных колебаний в двух или более разнесенных в пространстве каналах приемника, используется в интерферометрических гидролокаторах бокового обзора (ИГБО) и системах позиционирования [1, 2]. Использование узкополосных зондирующих сигналов с большой базой позволяет снизить влияние аддитивных помех типа белого гауссовского шума путем обработки принятых сигналов с использованием методов согласованной фильтрации. Влияние аддитивных помех также снижается с ростом размера антенной базы, так как точность вычисления угла прихода обратно пропорциональна размеру антенной базы [3]. Однако расширение базы интерферометра, не согласованное с параметрами сигнальной посылки, увеличивает декорреляцию колебаний в каналах приемника, приводящую к ошибкам измерений [4].

Известные исследования в области измерительных интерферометрических систем [4] сориентированы в основном на измерительные системы, удовлетворяющие условию пространственно-временной узкополосности, которое ставит ограничение на размер антенной базы и ширину полосы сигналов. Модели колебаний в каналах приемника и алгоритмы их обработки при выполнении условия пространственно-временной уз-

кополосности наиболее просты и потому привлекательны.

В данной работе на основании общей модели отраженных от шероховатой поверхности сигналов [5] изучаются погрешности измерения разности фаз в каналах ИГБО, вызванные декорреляционными факторами, и рассматриваются возможности корректировки моделей колебаний в каналах приемника и алгоритмов их обработки с целью повышения точности производимых оценок путем снижения влияния аддитивных системных помех, обусловленных моделью распределенного в пространстве объекта зондирования.

1. МОДЕЛЬ КОЛЕБАНИЙ В КАНАЛАХ ПРИЕМНИКА

Принцип измерения углов прихода сигналов с помощью интерферометрических систем описан в работах [1, 2]. Геометрия измерений представлена на рис. 1.

Для вычисления углов прихода сигналов с помощью интерферометрических систем используются, как минимум, две приемные антенны, которые условно будем называть опорной 1 и рабочей 2 (см. рис. 1).

Предполагается, что в качестве зондирующего используется сигнал с линейной частотной модуляцией (ЛЧМ) с центральной частотой f_0 , длитель-

ностью T_c и девиацией частоты ΔF . Колебания с выхода каждой из приемных антенн подаются на фильтры, согласованные с ЛЧМ-сигналом.

Источник сигнала описывается дальностью до него R и направлением φ на него. Дальность однозначно связана с запаздыванием $\tau = 2R/V$, где V – скорость распространения звука. Таким образом, источник (отражающая поверхность) описывается функцией $\varphi(\tau)$, которая в общем случае может быть многозначной.

Отражающую поверхность будем считать шероховатой. Для такой поверхности в [5] дана в общем виде модель отраженных сигналов. Используя результаты этой работы, для комплексных огибающих $Z_1(t)$ и $Z_2(t)$ на выходе согласованных фильтров в случае однозначной поверхности, находящейся в дальней зоне, можно получить следующие соотношения:

$$\begin{aligned} Z_1(t) &= \int h(\tau)\rho_s(t - \tau) \exp\{-j2\pi f_0 \tau\} d\tau, \\ Z_2(t) &= \int h(\tau)\rho_s\left[t - \tau + \frac{\Delta x}{V} \beta(\tau)\right] \times \\ &\times \exp\left\{-j2\pi f_0 \left[\tau - \frac{\Delta x}{V} \beta(\tau)\right]\right\} d\tau, \end{aligned} \quad (1)$$

где Δx – расстояние между антеннами.

В случае многозначных поверхностей (источников) будем иметь сумму нескольких интегралов. Пределы интегрирования в (1) от τ_0 до ∞ , где τ_0 – минимальная задержка. Учитывая свойства подынтегральных функций, пределы интегрирования можно сократить.

В соотношении (1) $\rho_s(t)$ есть нормированная автокорреляционная функция (АКФ) комплексной огибающей зондирующего сигнала, т.е. энергия излучаемого колебания полагается равной единице. Ее отличие от единицы учитывается коэффициентом пропорциональности в $h(\tau)$, характеризующего отражающие свойства поверхности и дополнительные эффекты, возникающие при распространении звуковых волн.

Для шероховатой поверхности функция $h(\tau)$ полагается [5] реализацией комплексного нормального случайного процесса с нулевым средним и со следующими корреляционными свойствами:

$$\begin{aligned} \langle h(\tau_1)h^*(\tau_2) \rangle &= \sigma_h^2(\tau_1)\delta(\tau_2 - \tau_1), \\ \langle \text{Re}\{h(\tau_1)\} \text{Im}\{h(\tau_2)\} \rangle &= 0, \end{aligned} \quad (2)$$

где усреднение производится по ансамблю.

Функция $\sigma_h^2(\tau)$ полагается медленно изменяющейся. Функция $\beta(\tau)$ в соответствии с рис. 1 равна

$$\beta(\tau) = \sin[\theta - \varphi(\tau)]. \quad (3)$$

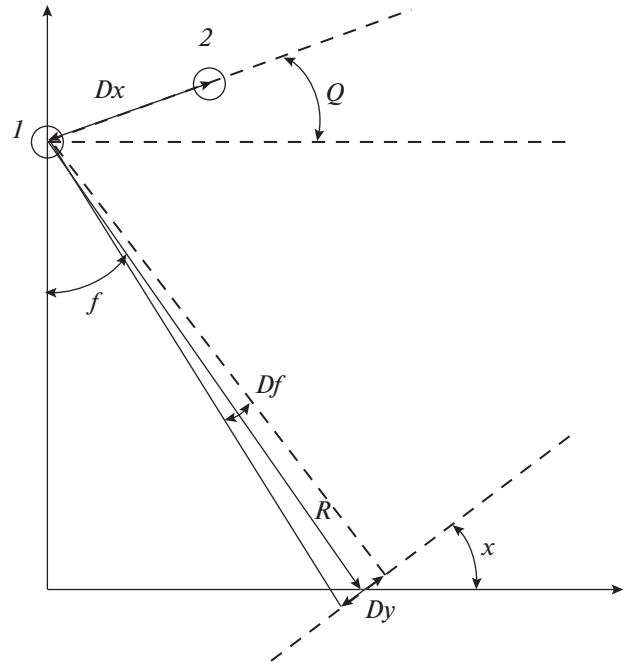


Рис. 1. Геометрия измерений интерферометрических систем.

При сделанных предположениях относительно функции $h(\tau)$ колебания $Z_1(t)$ и $Z_2(t)$ будут реализациями гауссовского случайного процесса с нулевым средним и дисперсиями:

$$\begin{aligned} \sigma_z^2(t) &= \langle |Z_i(t)|^2 \rangle = \int \sigma_h^2(\tau) |\rho_s(t - \tau)|^2 d\tau \cong \\ &\cong \sigma_h^2(t) \int |\rho_s(v)|^2 dv, \end{aligned} \quad (4)$$

где знак приближения отражает предположение о постоянстве $\sigma_h^2(\tau)$ на длительности главного лепестка автокорреляционной функции зондирующего сигнала. При этом учтено, что функция $|\rho_s(v)|^2$ за пределами главного лепестка ($|v| \leq 1/\Delta F$) много меньше единицы.

Для дальнейшего важны соотношения, вытекающие из принятой модели отраженного сигнала:

$$\langle \text{Re}\{Z_i(t)\} \text{Im}\{Z_i(t)\} \rangle = 0, \quad (5)$$

$$\begin{aligned} \rho_{12}(t_1, t_2) &= \frac{\langle Z_1(t_1)Z_2^*(t_2) \rangle}{\sigma_z^2(t_1)} = \\ &= \exp\left\{-j2\pi \frac{\Delta x}{\lambda} \beta(t_1)\right\} p(t_1, t_2), \end{aligned} \quad (6a)$$

где

$$\begin{aligned} p(t_1, t_2) &= \\ &= \int \rho_s(v)\rho_s^*[v + t_2 - t_1 + \Delta x/V \beta(t_1 - v)] \times \\ &\times \exp\{-j2\pi \Delta x/\lambda [\beta(t_1 - v) - \beta(t_1)]\} dv / \int |\rho_s(v)|^2 dv \end{aligned} \quad (6b)$$

– декорреляционный коэффициент.

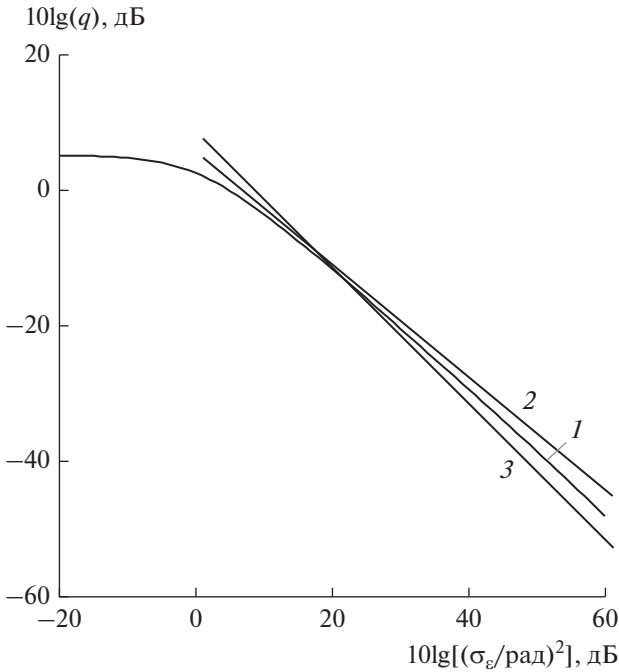


Рис. 2. Зависимость ошибки измерения разности фаз от соотношения сигнал помеха.

При $\text{Re}\{p(t_1, t_2)\} = 1$ и $\text{Im}\{p(t_1, t_2)\} = 0$ в отсутствие помех измеренная разность фаз между $Z(t_1)$ и $Z(t_2)$ соответствовала бы точному значению

$$\varepsilon(t_1) = \frac{2\pi\Delta x}{\lambda} \beta(t_1),$$

где λ — длина волны, соответствующая центральной частоте f_0 . Отличие от единицы приводит к погрешности измерений.

Целью обработки является оценка величины $\varphi(t_1)$. Для этого сначала с помощью измерения разности фаз оцениваем величину $\varepsilon(t_1)$, затем путем деления на $2\pi \frac{\Delta x}{\lambda}$ — величину $\beta(t_1)$, и, наконец, с помощью преобразования обратного (3) оцениваем величину $\varphi(t_1)$. При переходе от $\varepsilon(t_1)$ к $\beta(t_1)$ возникает неоднозначность, которая может быть устранена разными способами, один из которых был представлен в работе [6]. Если $\varepsilon(t_1)$ оценена со среднеквадратической ошибкой σ_ε , то для среднеквадратической ошибки σ_β и σ_φ будем иметь

$$\sigma_\beta = \frac{\sigma_\varepsilon}{2\pi \frac{\Delta x}{\lambda}}, \quad \sigma_\varphi = \frac{\sigma_\beta}{|\beta'(\varphi)|} = \frac{\sigma_\beta}{|\cos(\theta - \varphi)|}. \quad (7)$$

На входе приемника кроме отраженных колебаний присутствуют аддитивные помехи, которые предполагаются независимыми реализациями белого гауссова шума. На выходе согласованных фильтров с переносом частоты будем иметь

комплексные колебания $n_1(t)$ и $n_2(t)$ с автокорреляционными свойствами, соответствующими спектральной плотности зондирующего сигнала. Согласно [7] нетрудно показать, что

$$\langle |n_i(t)|^2 \rangle = \sigma_n^2, \quad \langle \text{Re}\{n_i(t)\} \times \text{Im}\{n_i(t)\} \rangle = 0. \quad (8)$$

2. ПОГРЕШНОСТЬ ИЗМЕРЕНИЯ РАЗНОСТИ ФАЗ

При выполнении условий (4), (5), (8) и $\sigma_h^2(t_1) = \sigma_h^2(t_2)$ два отсчета, $Y_1(t_1) = Z_1(t_1) + n_1(t_1)$ и $Y_2(t_2) = Z_2(t_2) + n_2(t_2)$, эквивалентны двум отсчетам Y_1 и Y_2 из стационарного нормального случайного процесса, взятым в разные моменты времени. Свойства этих отсчетов изучены в [7], в частности, получено одномерное распределение разности фаз ε в виде

$$W(\varepsilon) = \frac{1 - \rho_0^2}{2\pi} \left[\frac{1}{1 - y^2} + y \frac{\pi/2 + \arcsin(y)}{(1 - y^2)^{3/2}} \right], \quad (9a)$$

где $y = \rho_0 \cos(\varepsilon - \theta_0)$, $|\varepsilon| \leq \pi$, $\rho_0 = \sqrt{\text{Re}^2\{\rho\} + \text{Im}^2\{\rho\}}$, $\theta_0 = \arctg\left(\frac{\text{Im}\{\rho\}}{\text{Re}\{\rho\}}\right)$,

$$\rho = \frac{\langle Y_1 Y_2^* \rangle}{\sigma_Y^2}. \quad (9b)$$

В случае, когда сигнальные составляющие отсчетов Y_1 и Y_2 отличаются только фазовым сдвигом ($Y_1 = Z + n_1$, $Y_2 = Z \exp(j\varphi) + n_2$), погрешность измерения обусловлена только аддитивными помехами и параметры распределения (9b) имеют вид

$$\rho_0 = \frac{q}{1 + q}, \quad q = \frac{\sigma_z^2}{\sigma_n^2}, \quad \theta_0 = -\varphi.$$

Распределение имеет максимум при $\varepsilon = \theta_0$ и симметрично относительно этого значения [7]. Поэтому оценка будет не смещенной с дисперсией $\sigma_\varepsilon^2 = \langle (\varepsilon - \theta_0)^2 \rangle$.

На рис. 2 представлена полученная расчетным путем (9a) зависимость ошибки измерения разности фаз от соотношения сигнал помеха (кривая 1).

Для $1 \leq q \leq 10^6$ хорошей аппроксимацией этой зависимости является кривая 2. Эта аппроксимация соответствует зависимости

$$\sigma_\varepsilon^2(q) = 0.4q^{-13/15}.$$

Для качественных выводов удобной является более грубая аппроксимация, (см. рис. 2, кривая 3):

$$\sigma_\varepsilon^2(q) = 3q^{-1}. \quad (10)$$

В случае отсутствия аддитивных помех погрешность измерения обусловлена только декорреляцией отсчетов. Пусть $Y_1 = Z_1$ и $Y_2 = Z_2 \exp(j\varphi)$, где φ —

истинный угол. Тогда параметры распределения будут иметь вид

$$\rho = \frac{\langle Z_1 Z_2^* \rangle}{\sigma_z^2} \exp(-j\varphi) = p \exp(-j\varphi), \quad \rho_0 = |p|, \quad (11)$$

$$\theta_0 = \arctg \frac{\text{Im}\{p\}}{\text{Re}\{p\}}.$$

То есть оценка в этом случае будет смещенной на величину θ_0 , а случайная составляющая погрешности измерений будет эквивалентна погрешности за счет аддитивных помех с эквивалентным отношением сигнал-помеха:

$$q_s = \frac{|p|}{1 - |p|}. \quad (12)$$

Эквивалентное представление отсчетов Y_1 и Y_2 имеет вид

$$Y_1 = Z_s + n_{1s}, \quad Y_2 = Z_s \exp(-j(\varphi - \theta_0)) + n_{2s},$$

$$\langle |Z_s|^2 \rangle = |p| \sigma_z^2.$$

Из рассмотренного следует, что погрешность измерения глубины интерферометрическим ГБО в отсутствие аддитивных помех определяется коэффициентом (6б), характеризующим декорреляцию отсчетов $Z_1(t_1)$ и $Z_2(t_2)$. Декорреляция зависит от выбора момента взятия отсчета t_2 в рабочем канале относительно момента t_1 взятия отсчета в опорном канале и от поведения разности $\beta(t_1 - v) - \beta(t_1)$ в зависимости от v в показателе экспоненты. Декорреляцию за счет первого фактора будем условно называть временной декорреляцией, а за счет второго фактора – фазовой. Проанализируем по отдельности влияние этих факторов на погрешность измерений.

3. ПОГРЕШНОСТИ ИЗМЕРЕНИЙ ИЗ-ЗА ВРЕМЕННОЙ ДЕКОРРЕЛЯЦИИ

В чистом виде временная декорреляция имеет место при $\beta(t_1 - v) = \beta(t_1)$ для v , по крайней мере, на длительности главного лепестка автокорреляционной функции ($|v| \leq 1/\Delta F$). Функция $p(t_1, t_2)$ при этом равна

$$p(t_1, t_2) = \rho_{ss}(\Delta t),$$

где $\rho_{ss}(\Delta t)$ – нормированная АКФ зондирующего сигнала, а $\Delta t = t_1 - t_2 - \frac{\Delta x}{V} \beta(t_1)$. Функция $\rho_{ss}(\tau)$ пропорциональна обратному преобразованию Фурье от четвертой степени спектральной плотности зондирующего сигнала. Для ЛЧМ-сигнала

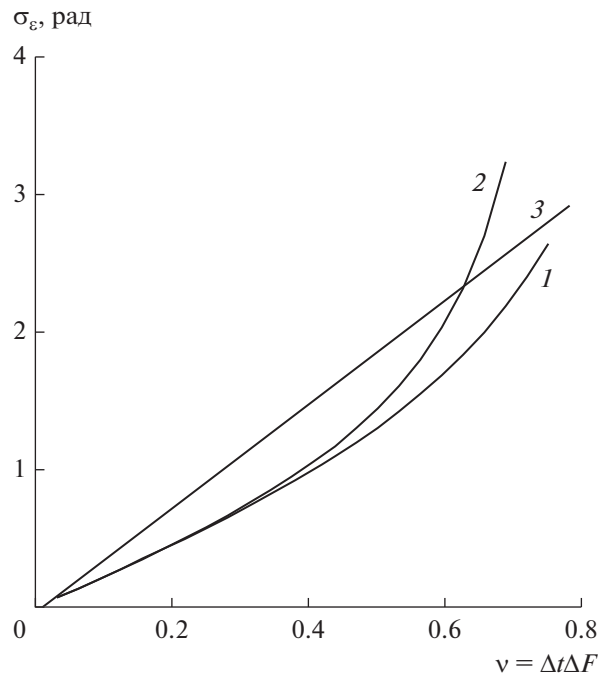


Рис. 3. Зависимость стандартного отклонения σ_ϵ погрешности измерения разности фаз из-за временной декорреляции.

с достаточно большой базой энергетический спектр близок к прямоугольному, и тогда имеем

$$p(t_1, t_2) = \rho_{ss}(\Delta t) \cong \frac{\sin(\pi u)}{\pi u}, \quad (13)$$

где $u = \Delta F \Delta t$.

При $|\Delta t| < 1/\Delta F$ оценка $\epsilon(t_1)$ будет не смещенной, а случайная погрешность будет равна погрешности при аддитивной помехе с эквивалентным отношением сигнал-помеха (12). Для получения качественных выводов функцию (13) для $|u| < 1/2$ можно аппроксимировать выражением

$$1 - \frac{(\pi u)^2}{6}, \quad \text{и } q_s \cong \frac{6}{(\pi u)^2} - 1.$$

На рис. 3 представлена зависимость погрешности измерения разности фаз, рассчитанная по соотношениям (10), (12), (13) (кривой 1) и с использованием указанной аппроксимации (кривая 2). Из рис. 3 видно, что обе кривые близки до значений $u \leq 1/2$ и, соответственно, $\sigma_\epsilon \leq \pi/2$. Кроме того, можно отметить, что обе зависимости до этих значений близки к линейной (кривая 3).

Заданная точность измерения угла прихода отраженного сигнала может быть обеспечена, если $|u|$ не превосходит некоторую величину u_{\max} :

$$|u| \leq u_{\max}. \quad (14)$$

В предположении пространственно временной узкополосности членом $\frac{\Delta x}{V} \beta(t - v)$ в аргументе функции ρ_s пренебрегают и для измерения разности фаз используют синхронные отсчеты в каналах приемника ($t_1 = t_2$). Реально $\frac{\Delta x}{V} \beta(t)$ отлично от нуля, что обуславливает погрешности измерений, соответствующие значению

$$u = \Delta F \frac{\Delta x}{V} \beta(t) = \frac{\Delta F \Delta x}{f_0 \lambda} \beta(t).$$

При этом условие (14) с учетом того, что $|\beta(t)|$ может достигать единицы, переходит в ограничение на размер антенной базы или полосы сигнала (база сигнала):

$$\frac{\Delta x}{\lambda} \leq u_{\max} \frac{f_0}{\Delta F}. \quad (15)$$

4. ПОГРЕШНОСТИ, ОБУСЛОВЛЕННЫЕ ФАЗОВОЙ ДЕКОРРЕЛЯЦИЕЙ

Положим в выражении (6б)

$$t_2 = t_1 - \frac{\Delta x}{V} \beta(t_1). \quad (16)$$

Тогда разность $\beta(t_1 - v) - \beta(t_1)$ будет иметь место как в показателе экспоненты, так и в аргументе функции ρ_s под интегралом. Предположим, что $\frac{\Delta x}{V} |\beta(t - v) - \beta(t)|$ при $|v| \leq 1/\Delta F$ — малая по сравнению с $1/\Delta F$ величина и ей можно пренебречь в аргументе функции ρ_s под интегралом. Тогда

$$p = p[t_1, t_1 - \frac{\Delta x}{V} \beta(t_1)] \cong \frac{\int |\rho_s(v)|^2 \exp\{-j2\pi \frac{\Delta x}{\lambda} [\beta(t_1 - v) - \beta(t_1)]\} dv}{\int |\rho_s(v)|^2 dv}. \quad (17)$$

То есть декорреляционный эффект будет связан лишь с вариацией показателя экспоненты.

При анализе разности $\beta(t - v) - \beta(t)$ каждой точке отсчета t будем сопоставлять плоский отражающий участок (см. рис. 1) размером, соответствующим разрешающей способности сигнала ($|v| \leq 1/\Delta F$). Отражающий участок находится на расстоянии R от антенн, под углом ξ к горизонтали и характеризуется угловым $\Delta\varphi$ и линейным Δy размерами, которые для $|\xi - \varphi| \geq 2\sqrt{\lambda f_0 / R \Delta F}$ имеют вид

$$\Delta\varphi \cong \frac{\lambda f_0}{R \Delta F} \frac{1}{\operatorname{tg}|\varphi - \xi|}, \quad \Delta y \cong \lambda \frac{f_0}{\Delta F} \frac{1}{\sin|\varphi - \xi|},$$

а при $\varphi = \xi$ —

$$\Delta\varphi = 2\sqrt{\frac{\lambda f_0}{R \Delta F}}, \quad \Delta y = 2\sqrt{\lambda R \frac{f_0}{\Delta F}}.$$

Поведение разности $\beta(t - v) - \beta(t)$ зависит от разности $\xi - \varphi$.

Для углов

$$|\xi - \varphi| \geq 2\sqrt{\frac{\lambda f_0}{R \Delta F}} \quad (18)$$

можно получить

$$\beta(t - v) - \beta(t) \cong \frac{vV}{2R} \operatorname{ctg}(\varphi - \xi) \cos(\theta - \varphi), \quad (19)$$

$$|v| \leq \frac{1}{\Delta F},$$

где знак приближения связан с условием (18) и предположением малости величины $f_0 \lambda / 2 \Delta F R$ по сравнению с единицей.

Отметим, что с увеличением дальности (глубины) условие (18) ослабляется, допуская меньшую разность углов. Кроме того, уменьшается разность (20), т.е. исключение этой разности из аргумента функции ρ_s под интегралом (6б) становится более оправданным.

Для получения качественных выводов при вычислении декорреляционного коэффициента p (19) функцию $\rho_s^2(v)$ аппроксимируем прямоугольником шириной $|v| \leq 1/\Delta F$. Тогда коэффициент p будет иметь вид (13) при

$$u = \frac{\Delta x f_0}{2R \Delta F} \operatorname{ctg}(\varphi - \xi) \cos(\theta - \varphi).$$

Оценка разности фаз ε при $|u| < 1$ будет не смещенной, а случайная погрешность будет равна погрешности измерения в аддитивном шуме с эквивалентным отношением сигнал—помеха, примерно равным $6/u^2 - 1$.

Заданное качество батиметрии достигается при выполнении условия (14). Величина u зависит от угла φ и разности $\xi - \varphi$, и ее модуль достигает максимума, когда в (18) выполняется равенство $\varphi = \theta$. С учетом этого (14) переходит в ограничение

$$\frac{\Delta x}{\lambda} < 4u_{\max} \sqrt{\frac{\Delta F R}{f_0 \lambda}}. \quad (20)$$

Сопоставление соотношений (20) и (15) показывает, что при одновременном взятии отсчетов в опорном и рабочем каналах допустимый размер антенной базы не зависит от дальности и сокращается с увеличением полосы сигнала ΔF . Коррекция момента взятия отсчета в рабочем канале, в соответствии с (16), позволяет увеличить допустимый размер антенной базы как с ростом ΔF , так и с ростом дальности (глубины).

Для отражающего участка, перпендикулярно направлению на антенны ($\xi = \varphi$), когда условие (18) не выполняется, имеет место неоднозначность, так как положительным и отрицательным угловым приращениям φ соответствуют положительные приращения по дальности. Возникает сумма двух интегралов по v от 0 до $1/\Delta F$ с разностью в показателе экспоненты:

$$\begin{aligned} & \beta(t+v) - \beta(t) \cong \\ & \cong \frac{vV}{2R} \sin(\theta - \varphi) \pm \sqrt{\frac{vV}{R}} \cos(\theta - \varphi). \end{aligned}$$

При этом один знак соответствует положительному угловому приращению, другой – отрицательному.

Аппроксимируя функцию $\rho_s^2(v)$ прямоугольником, получаем

$$p = \int_0^1 \exp\{-ja_1\xi\} \cos(a_2) \sqrt{\xi} d\xi, \quad (21)$$

где $a_1 = \pi \frac{\Delta x}{R} \frac{f_0}{\Delta F} \sin(\theta - \varphi)$, $a_2 = 2\pi \frac{\Delta x}{\lambda} \times$
 $\times \sqrt{\frac{f_0}{\Delta F} \frac{\lambda}{R}} \cos(\theta - \varphi)$.

При выполнении условия (20) и достаточно большой дальности величина $a_1 \ll 1$ и экспоненту под интегралом можно разложить в ряд Тейлора с удержанием только первых двух членов. В этом случае интегрирование (21) легко осуществляется. При этом $\text{Im}\{p\}$ имеет тот же порядок, что и величина a_1 , а для $\text{Re}\{p\}$ можно получить простое соотношение:

$$\text{Re}\{p\} = 2 \frac{a_2 \sin(a_2) - 1 + \cos(a_2)}{a_2^2}. \quad (22)$$

Величина $|a_2|$ при выполнении условия (20) может изменяться от 0 до $8\pi u_{\max}$. При этом $\text{Re}\{p\}$ может принимать как положительные, так и отрицательные значения, что обуславливает большие погрешности вычисления дальности.

ЗАКЛЮЧЕНИЕ

На основе общей модели отраженных от шероховатой поверхности сигналов [4] разработаны простые соотношения, позволяющие производить оценку погрешностей измерения разности фаз в каналах интерферометрических систем, обусловленных декорреляцией колебаний в опорном и рабочем каналах. Уточнена верхняя граница на полосу зондирующего сигнала и базу антенн, при которой допустимо измерение разности фаз одновременно взятых отсчетов из колебаний в опорном и рабочем каналах. Показано, что в пределах этой границы, погрешности вычисления углов прихода сигналов практически не зависят от размера антенной базы в отсутствие аддитивных помех.

Полученные оценки позволяют проводить дальнейшее совершенствование алгоритмов обработки сигналов в интерферометрических системах с целью повышения точности измерения углов прихода отраженных сигналов.

ФИНАНСИРОВАНИЕ РАБОТЫ

Работа выполнена по государственному заданию ИРЭ им. В.А. Котельникова РАН.

СПИСОК ЛИТЕРАТУРЫ

1. *Каевицер В.И., Разманов В.М., Кривцов А.П. и др.* // Радиотехника. 2008. № 8. С. 35.
2. *Каевицер В.И., Кривцов А.П., Смольянинов И.В., Элбакидзе А.В.* // Журнал радиоэлектроники. 2018. № 11. <http://jre.cplire.ru/>
3. *Долотов С.А., Каевицер В.И., Смольянинов И.В.* // Навигация и гидрография. 1996. № 3. С. 100.
4. *Xavier Lurton* // IEEE J. Oceanic Eng. 2000. V. 25. № 3. P. 351.
5. *Фалькович С.Е., Пономарев В.И., Шарко Ю.В.* Оптимальный прием пространственно-временных сигналов в каналах с рассеянием. М.: Радио и связь, 1989.
6. *Лифанов Е.М., Козлов В.И., Горкин В.Б.* // Радиотехника. 1991. Т. 2. С. 3.
7. *Левин Б.Р.* Теоретические основы статистической радиотехники. М.: Сов. радио, 1969.